

Bakkalaureatsarbeit

Wiederholungscode

Görtschacher Lukas

Institut für Signalverarbeitung und Sprachkommunikation
Technische Universität Graz
Vorstand: Univ.-Prof. Dipl.-Ing. Dr. techn. Gernot Kubin



Betreuer: Dipl.-Ing. Bernhard Geiger

Graz, im Oktober 2012

Inhaltsverzeichnis

1	Warum Kanalcodierung?	3
2	Wichtige Begriffe	3
2.1	Entropie	3
2.2	Redundanz	3
2.3	Transinformation	4
2.4	Kanalcodierung	5
2.5	AWGN-Kanal	6
2.6	BER Kurven	6
2.7	Hamming Abstand	6
2.8	Abstand	6
2.9	Codiergewinn	6
3	Wiederholungscode	6
3.1	Definition	6
3.2	Coderate	7
3.3	Redundanz	7
3.4	Codierung und Decodierung	7
3.5	Codiergewinn	7
4	Decodierung mit harter Entscheidung	7
4.1	Berechnung der BER- Kurve	8
4.2	Simulation der BER-Kurven	9
5	Decodierung mit weicher Entscheidung	9
5.1	Berechnung der BER- Kurve	9
5.2	Simulation der BER-Kurven	12
6	Obere und untere Schranken für die BER	12
6.1	Fano Ungleichung	12
6.2	Berechnung der unteren Grenze	14
6.3	Berechnung der oberen Grenze	15
6.4	Darstellung der Grenzen	15
7	Matlab (Octave) Code	17
7.1	Decodierung mit harter Entscheidung	17
7.2	Decodierung mit weicher Entscheidung	18
7.3	Decodierung mit verschiedenen Auflösungen	19
7.4	Fano Ungleichung	21

1 Warum Kanalcodierung?

Claude E. Shannon beschrieb in einem Artikel [1] ein Kommunikationssystem mit folgender schematischer Abbildung 1. Dabei ist der Weg zwischen einer Quelle und einer Senke beschrieben, welcher über einen Sender, über einen verrauschten Kanal und einem Empfänger geht. Es

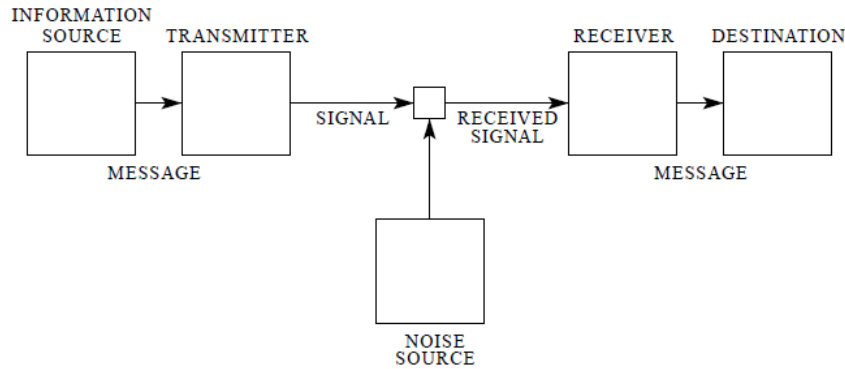


Abbildung 1: Kommunikationssystem nach Shannon

stellt sich nun die Frage, ob eine Nachricht, die von der Quelle generiert wird, am geforderten Ziel noch erkennbar bzw. nachvollziehbar ist. Die Anforderung an die Codierung ist es nun, die Nachvollziehbarkeit der Information (Nachricht) auf der Empfangsseite sicherzustellen.

Es werden im Folgenden einige wichtige Begriffe der Nachrichtentechnik erläutert, bevor auf die eigentliche Codierung eingegangen wird.

2 Wichtige Begriffe

2.1 Entropie

Die Entropie oder der mittlere Informationsgehalt einer Zufallsvariable ist abhängig von den Auftretswahrscheinlichkeiten der einzelnen Realisierung (Zeichen) und ist folgendermaßen definiert:

$$H = \sum_{i=1}^n p_i \cdot \log_a \left(\frac{1}{p_i} \right) \quad (1)$$

Wird für die Basis a des Logarithmus 2 gewählt, so kann die Entropie in *bit/Zeichen* angegeben werden. Die Entropie wird am größten, wenn alle Zeichen mit der selben Wahrscheinlichkeit auftreten(vgl. [2]).

2.2 Redundanz

Die Redundanz beschreibt die überflüssigen bits pro Zeichen, d.h.: bits in denen keine Information steckt.

$$R = \bar{m} - H \quad (2)$$

$$r = \frac{\bar{m} - H}{\bar{m}} \quad (3)$$

R steht hier für die absolute Redundanz und r für die relative Redundanz. \bar{m} ist der mittlere Binärstellenaufwand, der angibt, wieviele bits im Durchschnitt für die Darstellung eines Zeichens verwendet werden. \bar{m} wird folgendermaßen berechnet.

$$\bar{m} = \sum_{i=1}^n m_i \cdot p_i \quad (4)$$

Dabei ist m_i die Anzahl der Binärstellen und p_i die Auftrittswahrscheinlichkeit des i -ten Zeichens.

2.3 Transformation

In Abbildung 2 ist ein gestörter, gedächtnisloser und zeitdiskreter Kanal dargestellt. Bevor auf die Transformation eingegangen wird, werden die einzelnen Entropien, welche im Bild dargestellt sind besprochen. Da die Senke den Empfänger als Quelle sieht, kann man von zwei

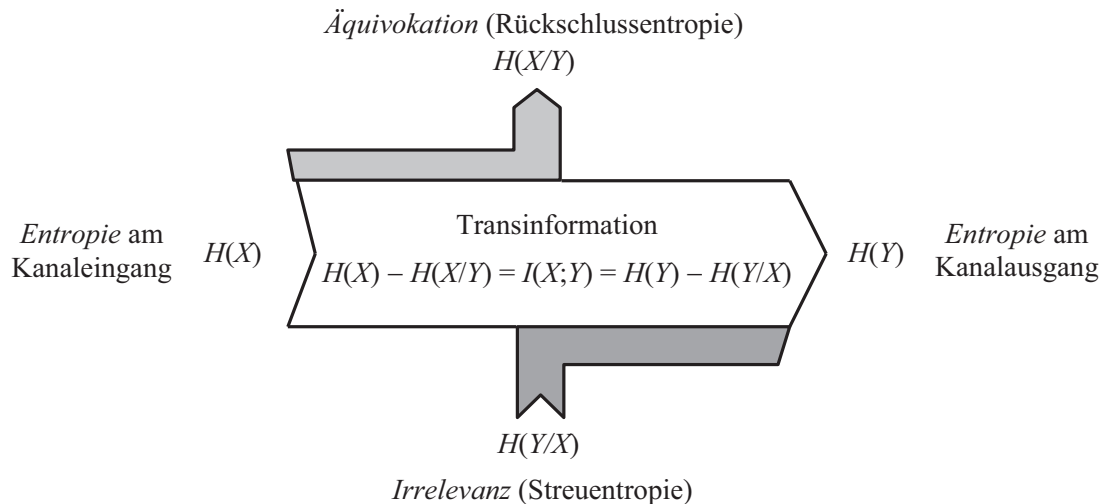


Abbildung 2: Transformation [4, S.93]

Quellen mit den möglichen Zeichen X und Y ausgehen, die statistisch voneinander abhängig sind. $H(X)$ und $H(Y)$ beschreiben nun jeweils die Entropie am Eingang bzw. am Ausgang des Kanals.

$$H(X) = \sum_{x \in \mathcal{X}} p(x) \cdot \text{ld} \left(\frac{1}{p(x)} \right) \quad (5)$$

$$H(Y) = \sum_{y \in \mathcal{Y}} p(y) \cdot \text{ld} \left(\frac{1}{p(y)} \right) \quad (6)$$

Die Verbundentropie beschreibt die Entropie von Zeichenpaaren aus X und Y und wird folgendermaßen berechnet:

$$H(X, Y) = \sum_x \sum_y p(x, y) \cdot \text{ld} \left(\frac{1}{p(x, y)} \right) \quad (7)$$

Die bedingte Entropie $H(X|Y)$ wird als Äquivokation bezeichnet. Sie beschreibt den Informationsverlust am Kanal, also die Unsicherheit bezüglich X , wenn der Ausgang $Y = y$ bekannt ist. Bei einem ungestörten Kanal ist $H(X|Y) = 0$ und bei einem völlig gestörten Kanal ist $H(X|Y) = H(X)$.

$$H(X|Y) = \sum_x \sum_y p(x, y) \cdot \text{ld} \left(\frac{1}{p(x|y)} \right) = \sum_y p(y) \cdot H(X|Y = y) \quad (8)$$

Die bedingte Entropie $H(Y|X)$ wird als Irrelevanz bezeichnet. Sie beschreibt die Fehlinformationen am Empfänger, wenn das gesendete Zeichen x bekannt ist.

$$H(Y|X) = \sum_x \sum_y p(x, y) \cdot \text{ld} \left(\frac{1}{p(y|x)} \right) \quad (9)$$

Es gibt nun mehrere Möglichkeiten zur Darstellung der Transinformation (vgl.[4]):

$$T = H(X) - H(X|Y) \quad (10)$$

$$T = H(Y) - H(Y|X) \quad (11)$$

2.4 Kanalcodierung

Abbildung 3 zeigt schematisch ein Übertragungssystem mit Kanalcodierung. Der Signalrauschabstand ist ein wichtiger Begriff für die Übertragungsqualität von Kanälen. Naheliegender wäre eine Erhöhung der Sendeleistung um die Qualität zu steigern. Das ist allerdings meist mit einigen Nachteilen verknüpft, wie z.B.: Stören von anderen Systemen, Überschreitung von Maximalwerten oder den Betrieb von Bauelementen in einem kritischen Bereich. Auch die Verringerung der Rauschleistung ist meist nicht möglich, bzw. mit zu hohen Kosten verbunden. Bei den Kanalcodierungsverfahren werden nun redundante bits hinzugefügt, wodurch Fehler erkannt, oder sogar korrigiert werden können. Dies geht allerdings bei gleichem Signalrauschabstand auf Kosten der Coderate¹ (vgl.[2]).

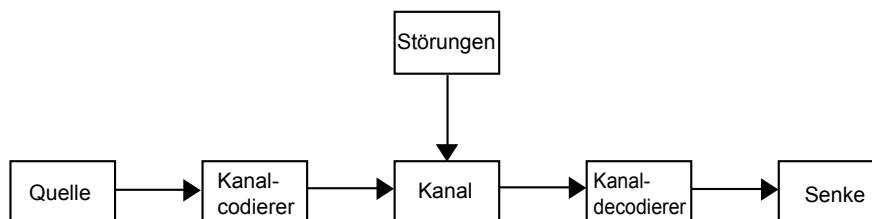


Abbildung 3: Kanalcodierung

¹Entspricht dem Verhältnis von Informationsbits zu Kanalbits

2.5 AWGN-Kanal

Der AWGN-Kanal ist ein Kanalmodell, bei dem das Nutzsinal durch additives weißes gaußsches Rauschen beeinflusst wird. Es zeichnet sich durch eine konstante spektrale Rauschleistungsdichte und einer gaußverteilten Amplitude aus (vgl. [5],[6]).

2.6 BER Kurven

Bei diesen Diagrammen werden die Bitfehlerwahrscheinlichkeit und das Verhältnis der Energie pro Informationsbit E_b zur spektralen Rauschleistungsdichte N_0 gegenübergestellt. $\frac{E_b}{N_0}$ ist dabei proportional zum Signalrauschabstand $\frac{S}{N}$, wobei die Bandbreite vernachlässigt wird. S stellt die Signalleistung des codierten Signals und N die Rauschleistung dar.

2.7 Hamming Abstand

Er beschreibt die Anzahl der Stellen in welchen sich zwei beliebige, gültige Codewörter eines Codes unterscheiden. Angenommen, die beiden Bitfolgen 100010 und 100011 sind solche Codewörter, dann unterscheiden sie sich in einer Stelle und der Hamming Abstand beträgt 1. Er wird in weiterer Folge mit D bezeichnet.

2.8 Abstand

Unter dem Abstand d versteht man den kleinsten Hamming Abstand, den zwei beliebige Codewörter eines Codes haben.

2.9 Codiergewinn

Den Codiergewinn kann man aus den BER-Kurven erkennen. Er beschreibt jene Signalenergie, die bei gegebener Bitfehlerwahrscheinlichkeit durch Kanalcodierung eingespart werden kann.

3 Wiederholungscode

In diesem Kapitel werden nun die Eigenschaften des Wiederholungscode beschrieben. Auf der Grundlage der Simulationen mit Matlab ergaben sich interessante Fragen bezüglich der mathematischen Hintergründe. So wurde der Großteil der Simulationen auch analytisch nachgewiesen. Außerdem wurden theoretische Grenzen des Codes berechnet und in den Simulationen dargestellt. Die mit Matlab entworfenen Modelle basieren auf binären, antipodalen Signalschemen wie z.B.: BPSK und auf einem AWGN-Kanal.

3.1 Definition

Der Wiederholungscode gehört zu einer einfachen Klasse von fehlerkorrigierenden Codes. Dabei wird jedes Informationsbit k mal wiederholt. Es entsteht ein Code mit zwei zulässigen Codewörtern, welche einen Abstand von $d = k$ besitzen.

3.2 Coderate

Bei einem Informationsbit werden k bits übertragen, was zur folgenden Coderate führt

$$CR = \frac{1}{k} \quad (12)$$

3.3 Redundanz

Die Redundanz bei diesem Verfahren ist natürlich sehr hoch.

$$R = k - 1 \quad (13)$$

und

$$r = \frac{k - 1}{k}. \quad (14)$$

3.4 Codierung und Decodierung

Bei der Codierung werden wie schon erwähnt, die Informationsbits k mal wiederholt und über den Kanal geschickt. Diese Kanalbits können dann am Kanalausgang auf verschiedene Arten decodiert werden. Bei der Decodierung mit harter Entscheidung werden die modulierten Kanalbits nur auf größer oder kleiner als 0 überprüft. Die Mehrheit der Zustände der k Kanalbits entscheidet über den Zustand des Informationsbits. Beim Decodieren mit weicher Entscheidung wird ein Decodierer mit unendlich hoher Quantisierung verwendet und die Entscheidung aufgrund der Mittlung der k modulierten Kanalbits getroffen. Bei den Decodierern mit endlicher Quantisierung wird der Bereich, indem sich die Amplituden der empfangenen Kanalbits befinden unterschiedlich gewichtet. So werden die Kanalbits auf Zustände wie z.B. „wahrscheinlich eine 0“, „wahrscheinlich eine 1“, „ziemlich sicher eine 0“, „ziemlich sicher eine 1“, usw. überprüft.

3.5 Codiergewinn

Wie aus den Simulationen mit Matlab hervorgeht, kann mit diesem Verfahren bei einem AWGN-Kanal kein Codiergewinn erzielt werden, er wird in der Regel sogar negativ. Das kommt daher, dass sich bei konstanter Signalleistung die Signalenergie pro Informationsbit mit steigender Redundanz verkleinert und somit auch $\frac{E_b}{N_0}$ geringer wird. Letzteres ergibt sich natürlich auch bei anderen Codierungsverfahren, wobei aber trotzdem ein Codiergewinn erzielt wird.

Die mit Matlab simulierten BER-Kurven werden nun dargestellt und beschrieben. Bei diesem Code wurden Realisierungen mit drei, fünf und sieben Wiederholungen gewählt. Dabei wird bei der Decodierung eine eindeutige Entscheidung getroffen und somit sind diese Codes perfekt. Bei einer geraden Anzahl von Wiederholungen kommt noch eine Zufallsentscheidung hinzu, wenn genau die Hälfte der wiederholten bits falsch empfangen werden.

4 Decodierung mit harter Entscheidung

Von harter Entscheidung spricht man dann, wenn man nur die Information, ob das Signal größer oder kleiner als Null ist, zur Decodierung verwendet. Somit gehen Informationen über die Amplitude verloren, ein solcher Decodierer ist aber in der Praxis einfach zu realisieren.

4.1 Berechnung der BER- Kurve

Zum Verständnis der Berechnung kann Abbildung 4 betrachtet werden. Dabei handelt es sich um die Wahrscheinlichkeitsdichtefunktion (engl.: PDF) wie es sich bei diesem Modulationsschema durch das additive weiße Rauschen ergibt. Voraussetzung für diese Darstellung ist, dass die zwei Codewörter mit gleicher Wahrscheinlichkeit gesendet werden. Die beiden farbigen Flächen ergeben dann die Wahrscheinlichkeit für ein falsch empfangenes Kanalbit an. Es handelt sich also um die Wahrscheinlichkeit, dass eine 0 gesendet und eine 1 empfangen wurde (und umgekehrt). Wegen der Gleichheit genügt es, die Berechnung nur für eine bedingte Wahrscheinlichkeit durchzuführen. Diese Berechnung gilt für perfekte Codes, d.h. die Anzahl der Wiederholungen ist ungerade. Das Rauschen wird mit der Zufallsvariable N

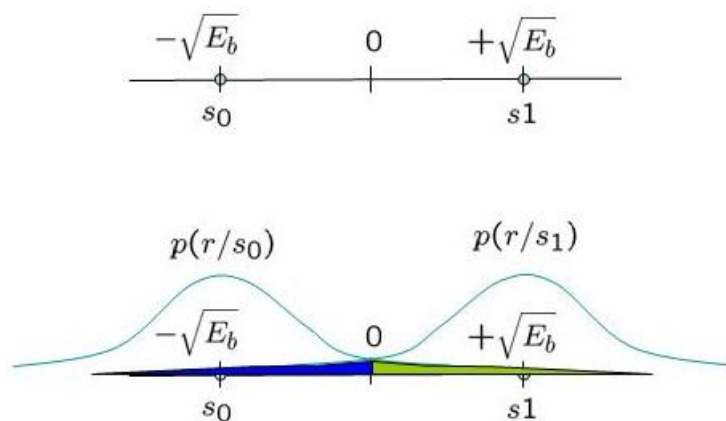


Abbildung 4: bedingte PDF [11]

bezeichnet und ist N -normiert auf die Bandbreite- $(0, \frac{N_0}{2})$ verteilt.

$$N \sim \left(0, \frac{N_0}{2}\right) \quad (15)$$

Die gesuchte bedingte Wahrscheinlichkeit berechnet sich folgendermaßen: Wie schon erwähnt, teilt sich die Energie des Informationsbits auf die k übertragenen Kanalbits auf und E_b muss durch k dividiert werden. Gesucht ist nun die Wahrscheinlichkeit

$$P\left(N > \sqrt{\frac{E_b}{k}}\right) \quad (16)$$

Wird die Verteilung auf die Standardnormalverteilung Z zurückgeführt, ergibt sich durch die Eigenschaften von N folgendes. σ steht für die Standardabweichung.

$$N = \sigma \cdot Z = \sqrt{\frac{E_b}{2}} \cdot Z \quad (17)$$

Eingesetzt in Gleichung (16) ergibt sich nun eine Standardnormalverteilung, die $(0, 1)$ verteilt ist. Dieser Schritt wird für eine leichtere Berechnung benötigt.

$$P\left(N > \sqrt{\frac{E_b}{k}}\right) = P\left(Z > \sqrt{\frac{E_b}{N_0} \cdot \frac{2}{k}}\right) \quad (18)$$

Dieses Ergebnis kann man jetzt mit Hilfe der Errorfunktion berechnen. Diese ist Teil von Matlab und Octave.

$$p_e = P\left(N > \sqrt{\frac{E_b}{k}}\right) = \frac{1}{2} \cdot \operatorname{erfc}\left(\frac{\sqrt{\frac{E_b}{N_0} \cdot \frac{2}{k}}}{\sqrt{2}}\right) \quad (19)$$

Ein Codewort wird jetzt falsch decodiert, wenn mehr als die Hälfte der Kanalbits falsch empfangen wird. Die Wahrscheinlichkeit dafür kann man mit der Binomialverteilung berechnen. Die Wahrscheinlichkeit für ein falsch decodiertes Codewort wird mit p_c bezeichnet und berechnet dich zu

$$p_c = \sum_{i=\lceil \frac{k}{2} \rceil}^k \binom{k}{i} \cdot p_e^i \cdot (1 - p_e)^{k-i} \quad (20)$$

4.2 Simulation der BER-Kurven

In den folgenden Abbildungen werden die analytischen und simulierten Ergebnisse gezeigt und diskutiert. Die Anzahl der Wiederholungen wurden so gewählt, dass perfekte Codes entstehen. Die durchgehenden Kurven in den Graphen stellen die Berechnungen dar, die simulierten Fehler werden mit einem Kreuz markiert. Zum Vergleich wurde auch immer die uncodierte BPSK Kurve dargestellt.

Abbildung 6 zeigt die berechneten und simulierten BER- Kurven. Dabei ist interessant, dass mit steigendem Wiederholungsgrad der Codiergewinn schlechter wird, also immer größerer Codierverlust auftritt. Später wird gezeigt, dass auch mit optimaler Decodierung mit weicher Entscheidung kein Codiergewinn erzielt wird und genau 0 ist. Die Kurven in Abbildung 5 zeigen die BER bei konstanter SNR und steigendem Wiederholungsgrad k und man sieht, dass die BER bei steigendem k schlechter wird. Aus diesem Grund ergeben sich die erwähnten Kurvenverläufe in Abbildung 6. Übertragen wurden bei dieser Simulation $k \cdot 2.000.000$ bits. Abbildung 7 zeigt die BER-Kurven für den Fall, dass die Energie des Informationsbits nicht auf alle k Kanalbits aufgeteilt wird, sondern dass jedes Kanalbit mit Energie E_b übertragen wird. Man sieht, dass die Kurven deutlich besser werden, wobei jedoch die benötigte Energie viel größer wird.

5 Decodierung mit weicher Entscheidung

Bei dieser Art von Decodierung gehen auch die Amplituden der empfangenen Signale in die Entscheidung mit ein. Wie man später bei den Simulationen sehen kann, wird dadurch ein Codiergewinn gegenüber Decodierung mit harter Entscheidung erzielt. Eine bessere Quantisierung der Amplitude hängt mit einem höheren Hardwareaufwand des Decodierers zusammen. Für die Berechnung und die Simulation wurde eine unendlich hohe Quantisierung zugelassen. D.h.: Die A/D-Wandlung wurde vernachlässigt.

5.1 Berechnung der BER- Kurve

Bei der Berechnung dieser Kurven kann man jetzt von Summen von unabhängigen Normalverteilungen ausgehen, welche wieder normalverteilt sind. Für diese neue Verteilung werden einfach die Mittelwerte und die Varianzen addiert (vgl. [7]). Nachdem das Rauschen immer

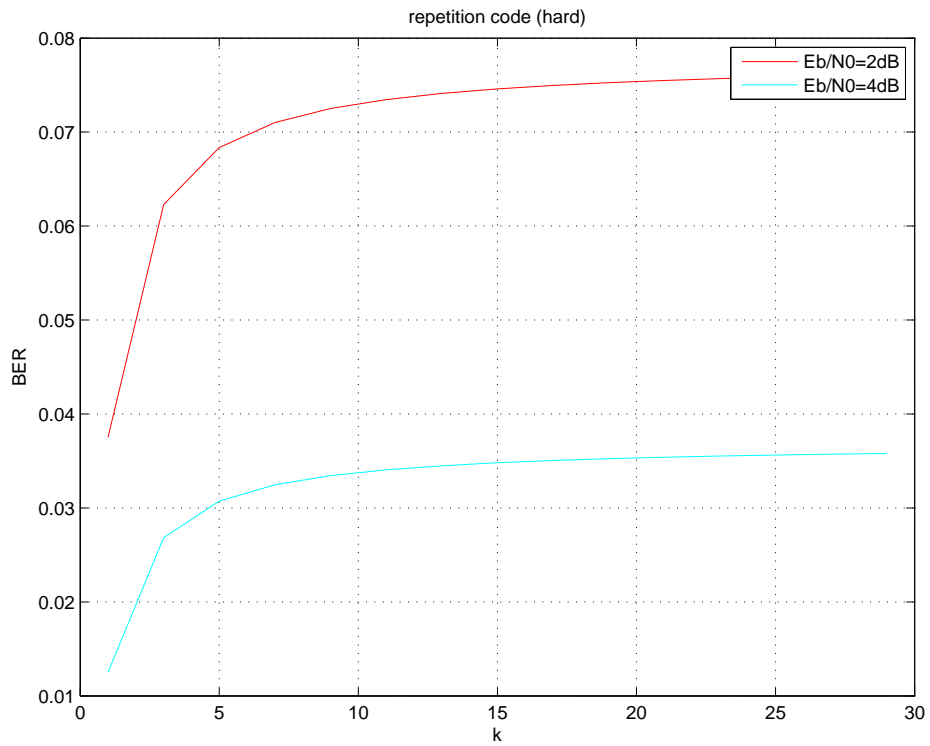


Abbildung 5: Wiederholungscode bei konstanter SNR

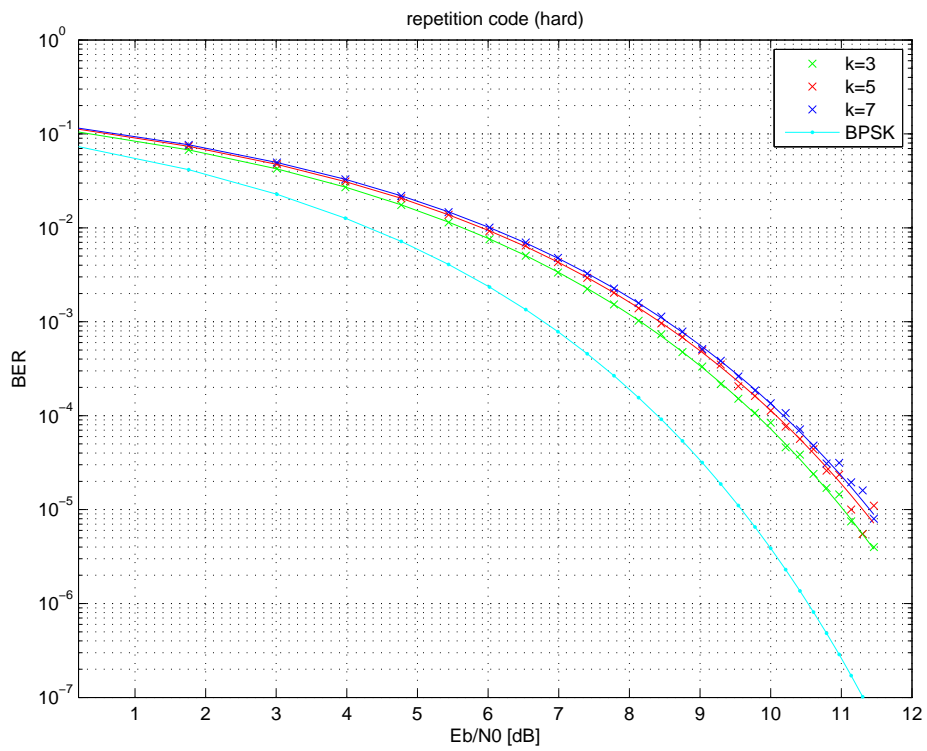


Abbildung 6: Wiederholungscode mit harter Entscheidung

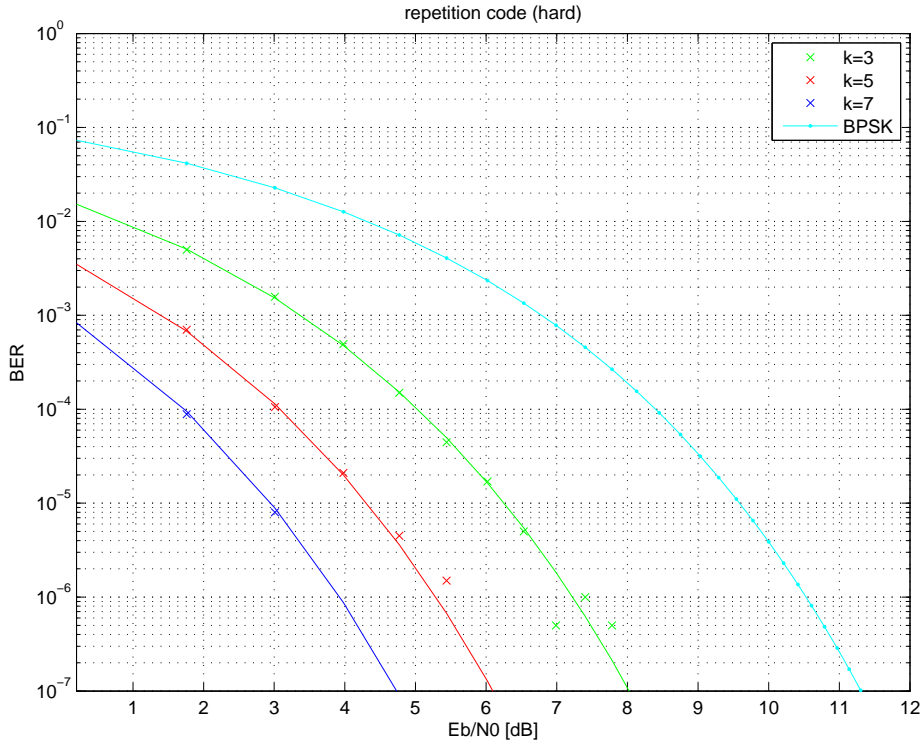


Abbildung 7: Repetitioncode mit vernachlässigter Coderate

den gleichen Mittelwert und die gleiche Varianz besitzt, ergibt sich eine $(0, k \cdot \frac{N_0}{2})$ Verteilung, wobei k die Anzahl der Wiederholungen ist. Dieses gesamte Rauschen wird nun der Addition der unverrauschten Signale überlagert. Somit erhält man die gleiche Berechnung, wie beim harten Decodieren mit neuen Parametern. Das Rauschen wird hier mit der Zufallsvariable N_k bezeichnet.

$$N_k \sim \left(0, k \cdot \frac{N_0}{2}\right) \quad (21)$$

Die gesuchte bedingte Wahrscheinlichkeit berechnet sich folgendermaßen.

$$P\left(N_k > k \cdot \sqrt{\frac{E_b}{k}}\right) \quad (22)$$

Zurückgeführt auf die Standardnormalverteilung ergibt sich:

$$P\left(N_k > k \cdot \sqrt{\frac{E_b}{k}}\right) = P\left(Z > k \cdot \sqrt{\frac{E_b}{N_0} \cdot \frac{2}{k^2}}\right) \quad (23)$$

Dabei kürzen sich die Wiederholungen heraus und die Fehlerwahrscheinlichkeit entspricht der eines BPSK modulierten Signals ohne Codierung.

$$p_c = P\left(N_k > k \cdot \sqrt{\frac{E_b}{k}}\right) = \frac{1}{2} \cdot \operatorname{erfc}\left(\frac{\sqrt{2 \cdot \frac{E_b}{N_0}}}{\sqrt{2}}\right) = \frac{1}{2} \cdot \operatorname{erfc}\left(\sqrt{\frac{E_b}{N_0}}\right) \quad (24)$$

5.2 Simulation der BER-Kurven

Wie schon erwähnt und jetzt auch berechnet, fallen die BER- Kurven genau zusammen, was auch der Kurve des uncodierten BPSK entspricht (siehe Abbildung 8). Die beiden Decodierer können nun also in Abbildung 6 verglichen werden. Es handelt sich hierbei jedoch nur

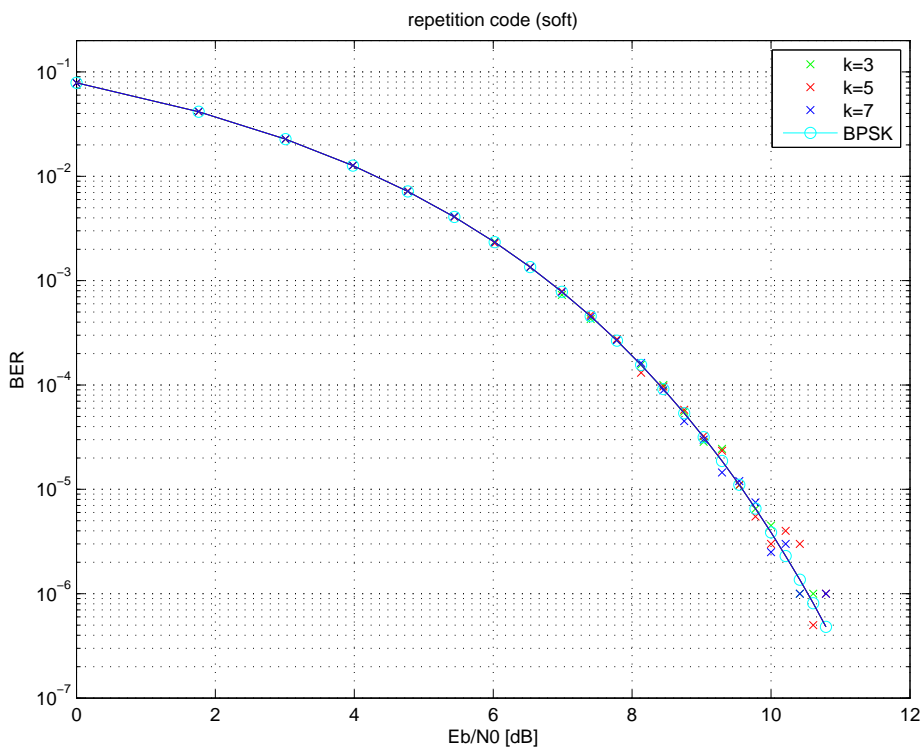


Abbildung 8: Repetitioncode mit weicher Decodierung

um eine theoretische Darstellung, da für solche Kurven unendlich viele Quantisierungsstufen notwendig wären. Um der Realität näher zu kommen, wurden Kurven mit zwei, bzw. drei bit simuliert. D.h. es wird zwischen vier, bzw. acht Werten am Empfänger unterschieden. Abbildungen 9 und 10 zeigen diese Kurven im Vergleich zu einer harten Decodierung und zur BPSK- Kurve. Es ist zu erkennen, dass die 3 bit- Quantisierung schon sehr nahe an die optimale BPSK- Kurve herankommt.

6 Obere und untere Schranken für die BER

Im Folgenden wird die Fehlerwahrscheinlichkeit mit der bedingten Entropie in Verbindung gebracht und daraus die Grenzen berechnet.

6.1 Fano Ungleichung

Dabei wird von einer Zufallsvariable Y ausgegangen, wobei der Wert einer korrelierten Zufallsvariable X geschätzt wird. Die Fano Ungleichung setzt nun die Fehlerwahrscheinlichkeit durch Schätzen der Zufallsvariable X in Beziehung mit der bedingten Entropy $H(X|Y)$. Es kann gezeigt werden, dass die Fehlerwahrscheinlichkeit bei der Abschätzung von X durch Y

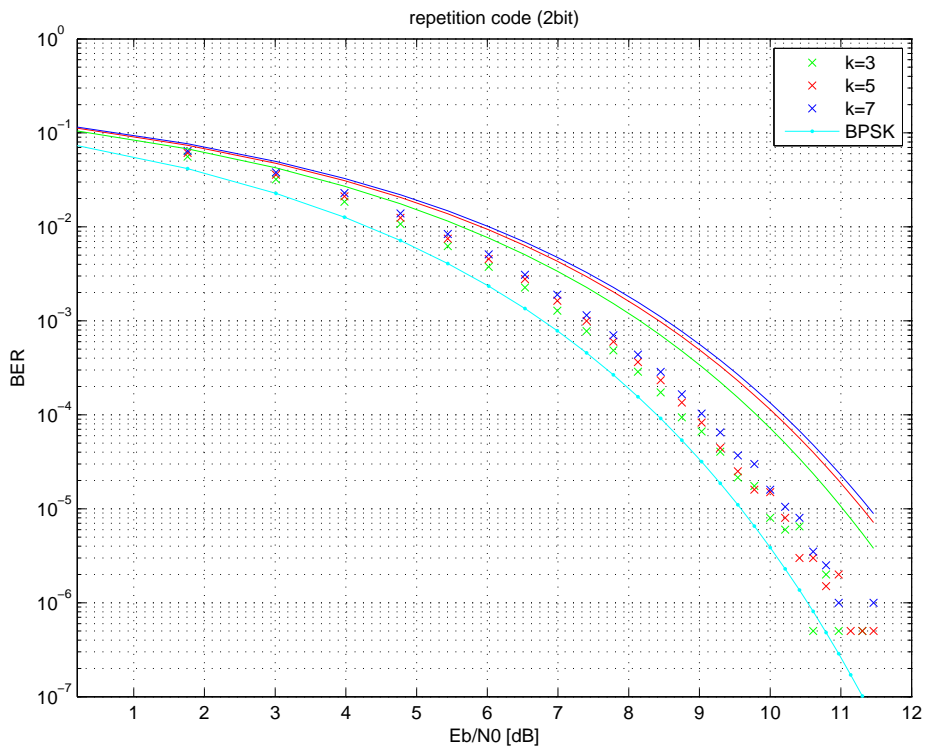


Abbildung 9: Repetitioncode mit 2 bit Quantisierung

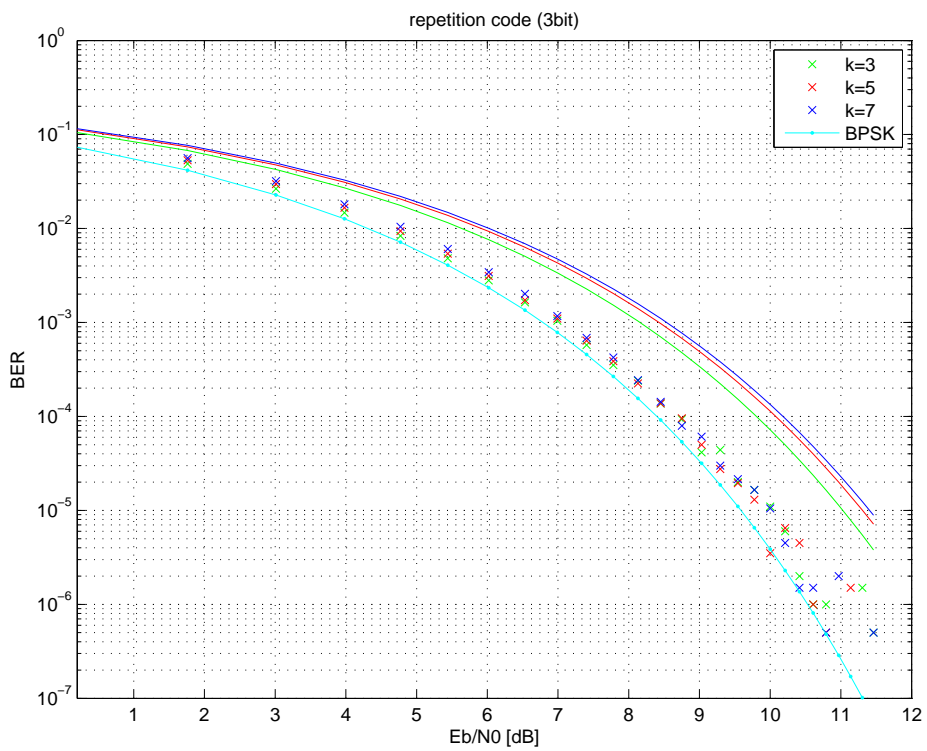


Abbildung 10: Repetitioncode mit 3 bit Quantisierung

nur dann null ist, wenn $H(X|Y) = 0$. Man kann nun annehmen, dass die Fehlerwahrscheinlichkeit der Abschätzung nur dann klein ist, wenn die bedingte Entropy klein ist. Die Fano Ungleichung beruht auf dieser Idee.

Die Fano Ungleichung besagt nun folgendes: Für jeden Schätzer \hat{X} , sodass $X \rightarrow Y \rightarrow \hat{X}$, mit $P_e = Pr(X \neq \hat{X})$ gilt [9]:

$$H(P_e) + P_e \log |\mathcal{X}| \geq H(X|\hat{X}) \geq H(X|Y) \quad (25)$$

wobei \mathcal{X} für das Alphabet der Eingangssymbole steht.

Die Ungleichung kann bestärkt werden, wenn der Schätzer \hat{X} Werte in \mathcal{X} annimmt, sodass gilt [9]:

$$H(P_e) + P_e \log(|\mathcal{X}| - 1) \geq H(X|Y) \quad (26)$$

Für die Simulationen wurden binäre Eingangssymbole verwendet, d.h.: das Alphabet besteht aus 0 und 1, also ist $|\mathcal{X}| = 2$. Berücksichtigt man dies in der Ungleichung, so fällt der Term mit dem Logarithmus heraus und man erhält:

$$H(P_e) \geq H(X|Y) \quad (27)$$

6.2 Berechnung der unteren Grenze

Zur Berechnung der Entropien ist es notwendig, die Wahrscheinlichkeiten zu kennen. Die Wahrscheinlichkeit $p(y|x)$ ist eine Funktion vom SNR bzw. von $\frac{E_b}{N_0}$ und den Schwellwerten. Zur Veranschaulichung sei wieder auf Abbildung 4 verwiesen. Im Gegensatz dazu wird aber nicht mehr notwendigerweise 0 als Schwellwert benutzt, sondern es können beliebige und beliebig viele betrachtet werden. Aus den verschiedenen Werten des SNR ergeben sich verschiedene PDFs $f_{Y|X}$. Zwischen den verschiedenen Schwellwerten ergeben sich Bereiche mit bestimmten Wahrscheinlichkeiten $p(y|x)$. Wird mit t die Anzahl der Schwellwerte bezeichnet, so ergeben sich $t + 1$ Bereiche. Auf eine detaillierte Berechnung wird hier verzichtet, da sie der Berechnung beim Schwellwert 0 (mit harter Entscheidung) ähnlich ist.

Setzt man die Schwellwerte symmetrisch zum Nullpunkt, was durchaus sinnvoll ist, so erhält man als Beispiel mit zwei Schwellwerten folgende Form, wobei y_1 , y_2 und y_3 die Quantisierungswerte darstellen.

$p(y x)$	y_1	y_2	y_3
$x = -1$	p_1	p_2	p_3
$x = +1$	p_3	p_2	p_1

Bis jetzt wurde noch nicht berücksichtigt, dass zur Entscheidungsfindung ja k Wiederholungen betrachtet werden. Dazu wird nun $p(y^k|x)$ eingeführt, welche alle möglichen Kombinationen von k Werten beinhaltet. Als Beispiel wird hier Wiederholungscode mit $k = 3$ und eine weiche Entscheidung mit zwei Schwellwerten betrachtet.

$p(y^1, y^2, y^3 x)$	y_1, y_1, y_1	y_1, y_1, y_2	...	y_3, y_3, y_3
x_1	$p_1 \cdot p_1 \cdot p_1$	$p_1 \cdot p_1 \cdot p_2$...	$p_3 \cdot p_3 \cdot p_3$
x_2	$p_3 \cdot p_3 \cdot p_3$	$p_2 \cdot p_3 \cdot p_3$...	$p_1 \cdot p_1 \cdot p_1$

Für die Berechnung der Verbundwahrscheinlichkeit wurde der Multiplikationssatz verwendet, welcher besagt, dass $p(x, y) = p(x) \cdot p(y|x)$ ist [7]. Die beiden Eingangswerte treten mit

$p(y^1, y^2, y^3, x)$	y_1, y_1, y_1	y_1, y_1, y_2	...	y_3, y_3, y_3
x_1	$\frac{1}{2} \cdot p_1 \cdot p_1 \cdot p_1$	$\frac{1}{2} \cdot p_1 \cdot p_1 \cdot p_2$...	$\frac{1}{2} \cdot p_3 \cdot p_3 \cdot p_3$
x_2	$\frac{1}{2} \cdot p_3 \cdot p_3 \cdot p_3$	$\frac{1}{2} \cdot p_2 \cdot p_3 \cdot p_3$...	$\frac{1}{2} \cdot p_1 \cdot p_1 \cdot p_1$

Tabelle 1: $p(y^1, y^2, y^3, x)$ bei drei Wiederholungen

gleicher Wahrscheinlichkeit auf, wodurch $p(x) = \frac{1}{2}$ ist (Tabelle 1). Die Wahrscheinlichkeit $p(y)$ kann mit Hilfe der totalen Wahrscheinlichkeit berechnet werden [7]. Dies entspricht dem Aufsummieren der einzelnen Spalten der Tabelle 1.

$$p(y) = \sum_x p(x) \cdot p(y|x) \quad (28)$$

Jetzt kann man die Entropien $H(Y)$, $H(X)$ und $H(Y|X)$ mit den schon bekannten Formeln berechnen. Aus den Formeln für die Transinformation kann dann die gewünschte Entropie $H(X|Y)$ berechnet werden.

$$T = H(X) - H(X|Y) \quad (29)$$

$$T = H(Y) - H(Y|X) \quad (30)$$

$$H(X|Y) = H(X) + H(Y|X) - H(Y) \quad (31)$$

Schlussendlich kann P_e aus der Ungleichung $H(P_e) \geq H(X|Y)$ bestimmt werden.

6.3 Berechnung der oberen Grenze

Es existiert ein weiterer Zusammenhang zwischen der bedingten Entropy $H(X|Y)$ und der Fehlerwahrscheinlichkeit P_e , welcher als Abschätzung nach oben verwendet werden kann. Daraus erhält man nun neben der bereits berechneten unteren Grenze eine obere Grenze für die Fehlerwahrscheinlichkeit [10].

$$H(X|Y) \geq 2 \cdot \log(2) \cdot P_e = 2 \cdot P_e \quad (32)$$

6.4 Darstellung der Grenzen

Wie schon gezeigt, sind die BER-Kurven von der Lage und der Anzahl der Schwellwerte abhängig. Bei der Berechnung der unteren Grenze wurde die Fehlerwahrscheinlichkeit sukzessive verkleinert, bis die Grenze gefunden wurde. Abbildungen 11 und 12 zeigen die simulierten Werte sowie die durch durchgezogenen Linien gekennzeichneten Grenzen mit drei bzw. fünf Schwellwerten. Orientiert man sich an der BPSK Kurve, so erkennt man den Unterschied zwischen den beiden Decodierern. Wie zu erwarten, wird das Verhalten mit Erhöhung der Schwellwerte verbessert. Als Beispiel werden die Schwellwerte und die Gewichtung der Stufen bei der Decodierung mit drei Schwellwerten gezeigt. Ist das empfangene Signal zwischen 0 und 0,44, so wird es mit 0,3 gewichtet. Ist es größer als 0,44, so wird es mit 1 gewichtet. Bei dem vorliebenden BPSK-Signal werden diese Schwellwerte einfach gespiegelt und mit negativem Vorzeichen gewichtet und man erhält den vollständigen Decodierer. Beim Empfang aller k Kanalbits wird dann eine Entscheidung getroffen.

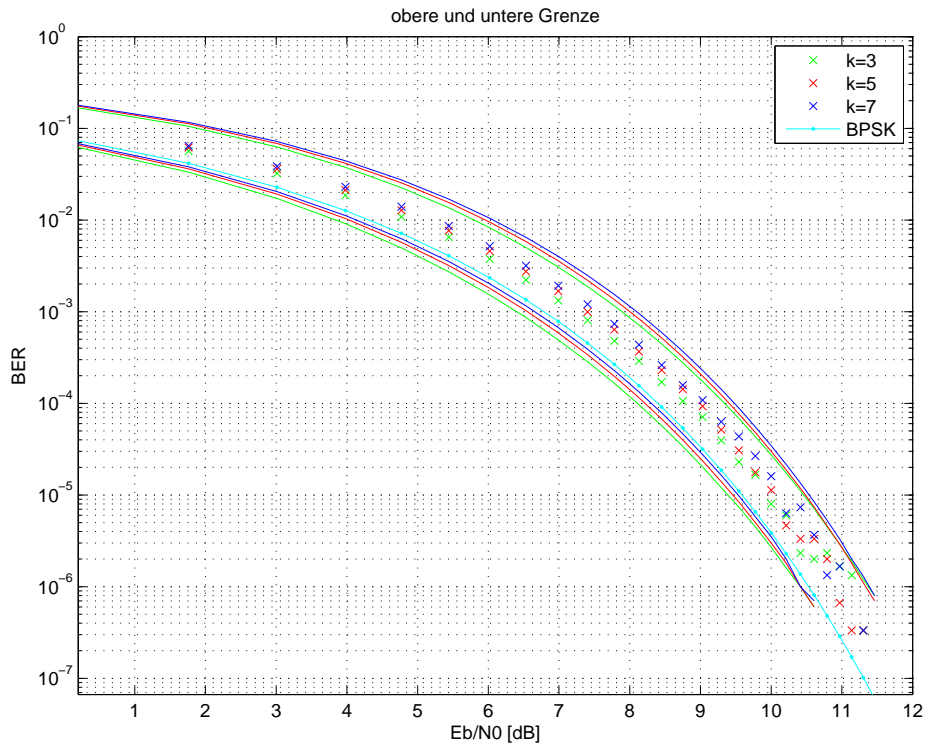


Abbildung 11: Decodierung mit drei Schwellwerten

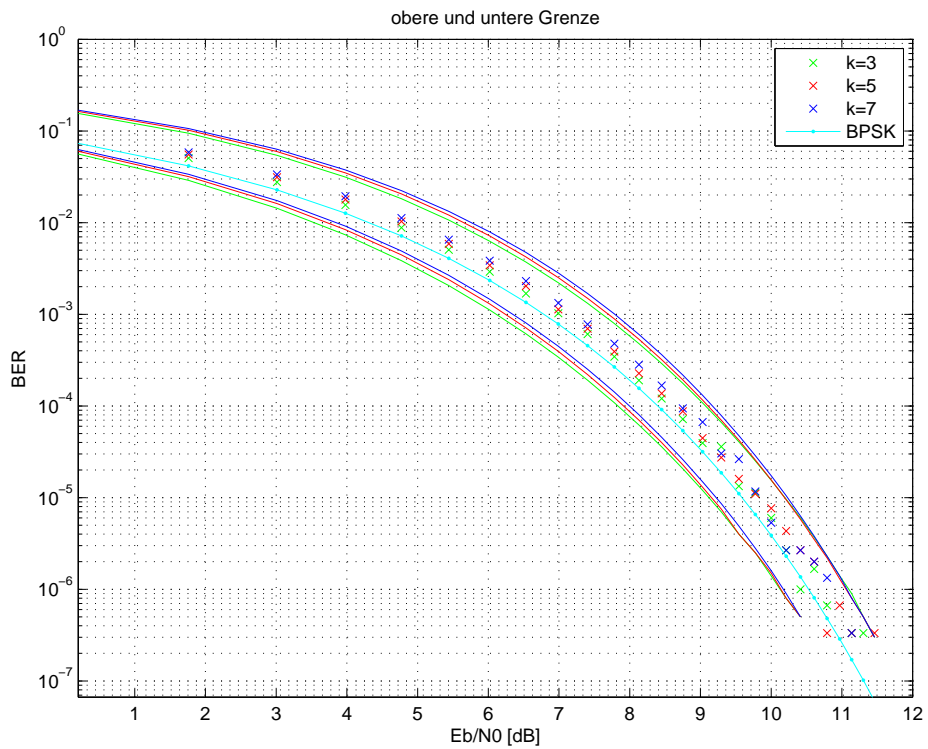


Abbildung 12: Decodierung mit fünf Schwellwerten

7 Matlab (Octave) Code

7.1 Decodierung mit harter Entscheidung

```
1 % Goertschacher Lukas
2 % repetition code hard decoding
3 % 2012
4
5 clear all
6 close all
7 % generating a binary randomvector with length n and equal probability of 0 and 1
8 n=2000000;
9 inputv = round(rand(1,n));
10 %will consist all ber's
11 berall=[];
12 adecvbiterrorall=[];
13 % specify the number of repetitions
14 for m=3:2:7
15
16 %%% Encoding
17
18 % copying all elements m- times to get the wanted repetition
19 encv = inputv(ones(1,m),:);
20 encv = encv(:)';
21
22 % replace the elemts that are zero with -1, to get the antipodal representation of the signal.
23 % now we have the signal with bit energy of 1.
24 encv(encv==0)=-1;
25 %encv=encv./sqrt(m);
26 for i=2:1:28
27
28 % Eb/N0, energy per bit per noise PSD.
29 % note that the energy per bit Eb is 1!
30 EbtoN0(1,i)=i/2;
31 N0=1/EbtoN0(1,i);
32
33 % generating a noise vector with the length of the inputvector
34 % AWGN is  $N(0,N0/2)$  distributet
35 % randn gives a  $N(0,1)$  distribution
36 % multiply with m to observe the redundancy
37 noise =sqrt(N0/2*m)* randn(1,length(encv));
38
39 % adding the noise to the coded vector enc
40 recv= encv+noise;
41
42 % Decoding
43 % make a trashhold decision if 0 or 1
44 recv(recv>0)=1;
45 recv(recv<0)=0;
46
47 % decoding the vektor recv
48 decv =reshape(recv, [m,length(inputv)]);
49
50 % summing up the zeros of each column and decide for 0 or 1
51 outputv=sum(decv==0)<m/2;
52 biterror(1,i)=sum(xor(inputv,outputv)==1);
53
54
55 % compute the ber analytically
56 abiterror=1/2*erfc(sqrt(2*EbtoN0/m)/sqrt(2));
57 adecvbiterror=zeros(1,length(abiterror));
58
59 for j=ceil(m/2):m
60     adecvbiterror=adecvbiterror+nchoosek(m,j) .* abiterror.^(j).*(1-abiterror).^(m-j);
61
62     end
63 % calculate the ber of BPSK
64 bpsk=1/2*erfc(sqrt(2*EbtoN0)/sqrt(2));
65 % calculate the logarithm of EbtoN0
66 logEbtoN0=(EbtoN0~=0).*(10*log10(EbtoN0));
67 % calculate the biterrorate
68 ber=biterror/n;
69 ber(ber==0)=NaN;
70 % berall consists of the ber's of each loop
71 berall=[berall;ber];
72
73 end
74
75 color=['r','c','b','b','g','c','c'];
76 % plotting the curves with logerithm y- scale
77 % plot the simulation and the analytic computation
78 figure;
79 semilogy(logEbtoN0(~isnan(berall(1,:))),berall(1,(~isnan(berall(1,:)))),'x',color(5)),...
80 logEbtoN0(~isnan(berall(2,:))),berall(2,(~isnan(berall(2,:)))),'x',color(1)),...
81 logEbtoN0(~isnan(berall(3,:))),berall(3,(~isnan(berall(3,:)))),'x',color(3)),...
82 logEbtoN0,bpsk,['-','color(2)'],...
83 logEbtoN0,adecvbiterrorall(1,:),['-','color(5)'],...
84 logEbtoN0,adecvbiterrorall(2,:),['-','color(1)'],...
```

```

85     logEbtoN0,adecvbiterrorall(3,:),['-',color(3)])
86 axis([0.2 12 2/(10*n) 1])
87 grid on;
88 title('repetition_code_(hard)');
89 legend('k=3','k=5','k=7','BPSK')
90 xlabel('Eb/N0_[dB]');
91 ylabel('BER');
92
93 print('-dpdf','rep_hard-cr.pdf')
94
95 % plot the simulation only
96 figure;
97 semilogy(logEbtoN0(~isnan(berall(1,:))),berall(1,(~isnan(berall(1,:)))),['x',color(5)],...
98     logEbtoN0(~isnan(berall(2,:))),berall(2,(~isnan(berall(2,:)))),['x',color(1)],...
99     logEbtoN0(~isnan(berall(3,:))),berall(3,(~isnan(berall(3,:)))),['x',color(3)],...
100    logEbtoN0,bpsk,['-',color(2)])
101 axis([0.2 12 2/(10*n) 1])
102 grid on;
103 title('repetition_code_(hard)');
104 legend('k=3','k=5','k=7','BPSK')
105 xlabel('Eb/N0_[dB]');
106 ylabel('BER');
107
108 print('-dpdf','rep_hard-real-cr.pdf')
109
110 % plot the analytic computation only
111 figure;
112 semilogy(logEbtoN0,adecvbiterrorall(1,:),['-',color(5)],...
113     logEbtoN0,adecvbiterrorall(2,:),['-',color(1)],...
114     logEbtoN0,adecvbiterrorall(3,:),['-',color(3)],...
115     logEbtoN0,bpsk,['-',color(2)])
116 axis([0.2 12 2/(10*n) 1])
117 grid on;
118 title('repetition_code_(hard)');
119 legend('k=3','k=5','k=7','BPSK')
120 xlabel('Eb/N0_[dB]');
121 ylabel('BER');
122 print('-dpdf','rep_hard-anal-cr.pdf')

```

7.2 Decodierung mit weicher Entscheidung

```

1 % Goertschacher Lukas
2 % repetition code with infinite resolution
3 % 2012
4 clear all
5 close all
6
7 % generating a binary randomvector with length n and equal probability of 0 and 1
8 n=2000000;
9 inputv = round(rand(1,n));
10 %will consist all ber's
11 berall=[];
12 abiterrorall=[];
13 % specify the number of repetitions
14 for m=3:2:7
15
16 % Encoding
17 % copying all elements m- times to get the wanted repetition
18     encv = inputv(ones(1,m),:);
19     encv = encv(:)';
20
21 % replace the elems that are zero with -1, to get the antipodal representation of the signal.
22 % now we have the signal with bit energy of 1.
23     encv(encv==0)=-1;
24
25 % define the parameters for the loop. steps 1/a and range b/8
26     a=2;
27     b=24;
28
29     for i=a:1:b
30
31 % Eb/N0, energy per bit per noise PSD.
32 % note that the energy per bit Eb is 1!
33
34         EbtoN0(1,i-a+1)=i/2;
35         N0=1/EbtoN0(1,i-a+1);
36
37 % generating a noise vector with the length of the inputvector
38 % AWGN is N^(0,N0/2) distributet
39 % randn gives a N^(0,1) distribution
40 %multiply N0 with m to reduse the bit energy
41         noise =sqrt(N0*m/2)* randn(1,length(encv));
42
43 % adding the noise to the coded vector enc
44         recv= encv+noise;
45
46 % Decoding
47 % softdecoding the vektor recv

```

```

48         decv =reshape(recv , [m,length(inputv)]);
49         outputv=(sum(decv)/m)>0;
50
51 % summing up the zeros of each column and decide for 0 or 1
52         biterror(1,i-a+1)=sum(xor(inputv,outputv)==1);
53
54     end
55
56 % softdecoding analytically
57 % one m is to reduce EbtoN0 because the higher redundancy
58     abiterror=1/2*erfc(m*sqrt(2*EbtoN0/m/m)/sqrt(2));
59     abiterrorall=[abiterrorall;abiterror];
60 % calculate the ber of BPSK
61     bpsk=1/2*erfc(sqrt(2*EbtoN0)/sqrt(2));
62
63 % calculate the logarithm of EbtoN0
64     logEbtoN0=(EbtoN0~=0).*(10*log10(EbtoN0));
65 % calculate the biterrorrate
66     ber=biterror/n;
67     ber(ber==0)=NaN;
68 % berall consists of the ber's of each loop
69     berall=[berall;ber];
70
71 end
72
73 color=['r','c','b','b','g','c','c'];
74 % plotting the curves with logarithm y- scale
75 figure;
76 semilogy(logEbtoN0(~isnan(berall(1,:))),berall(1,(~isnan(berall(1,:)))),'x',color(5)),...
77 logEbtoN0(~isnan(berall(2,:))),berall(2,(~isnan(berall(2,:)))),'x',color(1)),...
78 logEbtoN0(~isnan(berall(3,:))),berall(3,(~isnan(berall(3,:)))),'x',color(3)),...
79 logEbtoN0,bpsk,['o',color(2)],...
80 logEbtoN0,abiterrorall(1,:),['-',color(5)],...
81 logEbtoN0,abiterrorall(2,:),['-',color(1)],...
82 logEbtoN0,abiterrorall(3,:),['-',color(3)]);
83 axis([0 12 2/(10*n) 0.2])
84 grid on;
85 legend('k=3','k=5','k=7','BPSK');
86 title('repetition_code_(soft)');
87 xlabel('Eb/N0_[dB]');
88 ylabel('BER');
89
90 print('-dpdf','rep-soft.pdf')

```

7.3 Decodierung mit verschiedenen Auflösungen

```

1 % Goertschacher Lukas
2 % repetition code soft decoding with different thresholds with call up fano
3 % 2012
4 clear all
5 close all
6 format long
7
8 % generating a binary randomvector with length n and equal probability of 0 and 1
9 n=3000000;
10 % quantization of decoding
11 quant=4;
12 inputv = round(rand(1,n));
13 %will consist all ber's
14 berall=[];
15 adecvbiterrorall=[];
16 % specify the number of repetitions
17 for m=3:2:7
18
19     %% Encoding
20
21 % copying all elements m- times to get the wanted repetition
22     encv = inputv(ones(1,m),:);
23     encv = encv(:)';
24
25 % replace the elemts that are zero with -1, to get the antipodal representation of the signal.
26 % now we have the signal with bit energy of 1.
27     encv(encv==0)=-1;
28     %encv=encv./sqrt(m);
29     for i=1:1:28
30
31 % Eb/N0, energy per bit per noise PSD.
32 % note that the energy per bit Eb is 1!
33         EbtoN0(1,i)=i/2;
34         N0=1/EbtoN0(1,i);
35
36 % generating a noise vector with the length of the inputvector
37 % AWGN is N^(0,N0/2) distributet
38 % randn gives a N^(0,1) distribution
39 % multiply with m to observe the redundancy
40         noise =sqrt(N0/2*m)* randn(1,length(encv));
41
42 % adding the noise to the coded vector enc

```

```

43         recv= encv+noise;
44
45 % Decoding
46 % 2 or 3 bit softdecoding or 5 thresholds
47     if quant==3;
48         recv(recv>5*0.33333/2)=1;
49         recv(recv>3*0.33333/2 & recv<5*0.33333/2)=0.6;
50         recv(recv>0.33333/2 & recv<3*0.33333/2)=0.2;
51         recv(recv>0 & recv<0.33333/2)=0.1;
52         recv(recv>-0.33333/2 & recv<0)=-0.1;
53         recv(recv<-3*0.33333/2 & recv>-0.33333/2)=-0.2;
54         recv(recv<-5*0.33333/2 & recv>-3*0.33333/2)=-0.6;
55         recv(recv<-5*0.33333/2)=-1;
56     elseif quant==2;
57         recv(recv>0.44)=1;
58         recv(recv>0 & recv<0.44)=0.3333;
59         recv(recv>-0.44 & recv<0)=-0.3333;
60         recv(recv<-0.44)=-1;
61     else
62         recv(recv>0.66666)=1;
63         recv(recv>0.24 & recv<0.66666)=0.4;
64         recv(recv>0 & recv<0.24)=0.1;
65         recv(recv>-0.24 & recv<0)=-0.1;
66         recv(recv<-0.66666 & recv>-0.24)=-0.4;
67         recv(recv<-0.66666)=-1;
68     end
69
70 % decoding the vektor recv
71     decv =reshape(recv , [m,length(inputv)]);
72
73 % summing up the zeros of each column and decide for 0 or 1
74     outputv=sum(decv)>0;
75     %outputv=sum(decv==0)<m/2;
76     biterror(1,i)=sum(xor(inputv,outputv)==1);
77
78
79 % compute the ber analytically
80     abiterror=1/2*erfc(sqrt(2*EbtoN0/m)/sqrt(2));
81     adecvbiterror=zeros(1,length(abiterror));
82
83     for j=ceil(m/2):m
84         adecvbiterror=adecvbiterror+nchoosek(m,j) .* abiterror.^j.*(1-abiterror).^(m-j);
85     end
86     adecvbiterrorall=[adecvbiterrorall;adecvbiterror];
87 % calculate the ber of BPSK
88     bpsk=1/2*erfc(sqrt(2*EbtoN0)/sqrt(2));
89 % calculate the logarithm of EbtoN0
90     logEbtoN0=(EbtoN0~=0).*(10*log10(EbtoN0));
91     size(logEbtoN0)
92
93 % calculate the biterrorrare
94     ber=biterror/n;
95     ber(ber==0)=NaN;
96 % berall consists of the ber's of each loop
97     berall=[berall;ber];
98
99 end
100 % execute the fanoinequality
101 [Perror3 Perror5 Perror7 ub3 ub5 ub7]=fano(EbtoN0);
102
103 color=['r','c','b','b','g','c','c'];
104 % plotting the curves with logerithm y- scale
105 % plot the simulation and the analytic computation
106 figure;
107 semilogy(logEbtoN0(~isnan(berall(1,:))),berall(1,(~isnan(berall(1,:)))),'x',color(5)),...
108     logEbtoN0(~isnan(berall(2,:))),berall(2,(~isnan(berall(2,:)))),'x',color(1)),...
109     logEbtoN0(~isnan(berall(3,:))),berall(3,(~isnan(berall(3,:)))),'x',color(3)),...
110     logEbtoN0,bpsk,['-','color(2)'],...
111     logEbtoN0,adecvbiterrorall(1,:),['-','color(5)'],...
112     logEbtoN0,adecvbiterrorall(2,:),['-','color(1)'],...
113     logEbtoN0,adecvbiterrorall(3,:),['-','color(3)']
114 axis([0.2 12 2/(10*n) 1])
115 grid on;
116 title('repetition_code_(hard)');
117 legend('k=3','k=5','k=7','BPSK');
118 xlabel('Eb/N0_[dB]');
119 ylabel('BER');
120
121 %print('- dpdf','rep_hard_3bit.pdf')
122
123 % plot the upper and lower bound
124 figure;
125 semilogy(logEbtoN0(~isnan(berall(1,:))),berall(1,(~isnan(berall(1,:)))),'x',color(5)),...
126     logEbtoN0(~isnan(berall(2,:))),berall(2,(~isnan(berall(2,:)))),'x',color(1)),...
127     logEbtoN0(~isnan(berall(3,:))),berall(3,(~isnan(berall(3,:)))),'x',color(3)),...
128     logEbtoN0,bpsk,['-','color(2)'],logEbtoN0,Perror3,['-','g'],...
129     logEbtoN0,Perror5,['-','r'],logEbtoN0,Perror7,['-','b'],...
130     logEbtoN0,ub3,['-','g'],logEbtoN0,ub5,['-','r'],logEbtoN0,ub7,['-','b'])
131 axis([0.2 12 2/(10*n) 1])
132 grid on;

```

```

133 title('obere_und_untere_Grenze');
134 legend('k=3','k=5','k=7','BPSK');
135 xlabel('Eb/N0_[dB]');
136 ylabel('BER');
137
138 print('-dpdf','rep_soft_5t_ublb2.pdf')
139
140 % plot the analytic computation only
141 figure;
142 semilogy(logEbtoN0,adecvbiterrorall(1,:),['-','color(5)],...
143          logEbtoN0,adecvbiterrorall(2,:),['-','color(1)],...
144          logEbtoN0,adecvbiterrorall(3,:),['-','color(3)],...
145          logEbtoN0,bpsk,['.-','color(2)],logEbtoN0,Perror3,['-x','g'],...
146          logEbtoN0,Perror5,['-x','r'],logEbtoN0,Perror7,['x','b'])
147 axis([0.2 12 2/(10*n) 1])
148 grid on;
149 title('repetition_code_(hard)');
150 legend('k=3','k=5','k=7','BPSK');
151 xlabel('Eb/N0_[dB]');
152 ylabel('BER');
153 %print('-dpdf','fano4.pdf')

```

7.4 Fano Ungleichung

```

1 % Goertschacher Lukas
2 % repetition code fano inequality
3 % 2012
4
5 function[Pe3lb Pe5lb Pe7lb Pe3ub Pe5ub Pe7ub]=fano(EbtoN0)
6
7 % give the trashholds
8 t=[-0.44 0 0.44];
9 t=[-2*0.33333 -0.24 0 0.24 2*0.33333];
10 % Pt consists of the errorprob from the trashholds to infinity
11 Pt=[];
12 % Ptm consists of the errorprob for all m
13 Ptm=[];
14 for m=3:2:7
15     for i=1:length(t)
16         Pt(i,:)=1/2*erfc(sqrt(EbtoN0/m)*abs((t(i)-1)));
17     end
18     Ptm=[Ptm;Pt];
19 end
20 Ptm=Ptm';
21 Pcondall=[];
22 % compute the errorprob in the regions devidet from the trashholds Pcond=P(Y|X).
23 for i=1:length(t):3*length(t)
24     Ptml=Ptm(1:length(EbtoN0),i:i+length(t)-1);
25     Pcond(:,1)=Ptml(:,1);
26     Pcond(:,length(t)+1)=1-Ptml(:,length(t));
27     for k=1:length(t)-1
28         Pcond(:,k+1)=Ptml(:,k+1)-Ptml(:,k);
29     end
30     % consists of the conditional probs for all EbtoN0 and all k
31     Pcondall=[Pcondall reshape([Pcond'; flipr(Pcond)'],length(t)+1,2*length(EbtoN0))'];
32 end
33
34 % calculate the conditional probability of the words, P(Y1,Y2,Y3|X)
35 Pcondyyy3=Pcondall(1:end,1:length(t)+1);
36 B=[];
37 A=Pcondyyy3;
38 for j=1:2
39     for i=1:2*length(EbtoN0)
40         B(i,:)=kron(Pcondyyy3(i,:),A(i,:));
41     end
42     Pcondyyy3=B;
43     B=[];
44 end
45 % calculate the conditional probability of the words, P(Y1,Y2,Y3,Y4,Y5|X)
46 Pcondyyy5=Pcondall(1:end,length(t)+2:2*(length(t)+1));
47 B=[];
48 A=Pcondyyy5;
49 for j=1:4
50     for i=1:2*length(EbtoN0)
51         B(i,:)=kron(Pcondyyy5(i,:),A(i,:));
52     end
53     Pcondyyy5=B;
54     B=[];
55 end
56 % calculate the conditional probability of the words, P(Y1,Y2,Y3,Y4,Y5,Y6,Y7|X)
57 Pcondyyy7=Pcondall(1:end,2*(length(t)+1)+1:end);
58 B=[];
59 A=Pcondyyy7;
60 for j=1:6
61     for i=1:2*length(EbtoN0)
62         B(i,:)=kron(Pcondyyy7(i,:),A(i,:));
63     end
64     Pcondyyy7=B;

```

```

65     B=[];
66 end
67
68 % compute the entropy for k=3
69 HX=0.5*log2(1/0.5)+0.5*log2(1/0.5);
70 % compute P(Y) with Bayes
71 PY3=reshape(Pcondyyy3.*0.5,2,(length(t)+1)^3*length(EbtoN0));
72 PY3=sum(PY3)';
73 PY3=reshape(PY3,length(EbtoN0),(length(t)+1)^3);
74 % compute the entropy H(Y)
75 HY3=-PY3.*log2(PY3);
76 HY3=sum(HY3)';
77 % compute the of Y, given X.
78 HX3=sum((Pcondyyy3.*0.5.*log2(1./Pcondyyy3))');
79 HX3=reshape(HX3,2,length(EbtoN0));
80 HX3=sum(HX3)';
81 % compute the conditional entropy
82 HXY3=-(HY3-HX3-repmat(HX,length(EbtoN0),1));
83
84
85 % compute the entropy for k=5
86
87 HX=0.5*log2(1/0.5)+0.5*log2(1/0.5);
88 PY5=reshape(Pcondyyy5.*0.5,2,(length(t)+1)^5*length(EbtoN0));
89 PY5=sum(PY5)';
90 PY5=reshape(PY5,length(EbtoN0),(length(t)+1)^5);
91 HY5=-PY5.*log2(PY5);
92 HY5=sum(HY5)';
93
94 HX5=sum((Pcondyyy5.*0.5.*log2(1./Pcondyyy5))');
95 HX5=reshape(HX5,2,length(EbtoN0));
96 HX5=sum(HX5)';
97 HXY5=-(HY5-HX5-repmat(HX,length(EbtoN0),1));
98
99
100 % compute the entropy k=7
101
102 HX=0.5*log2(1/0.5)+0.5*log2(1/0.5);
103 PY7=reshape(Pcondyyy7.*0.5,2,(length(t)+1)^7*length(EbtoN0));
104 PY7=sum(PY7)';
105 PY7=reshape(PY7,length(EbtoN0),(length(t)+1)^7);
106 HY7=-PY7.*log2(PY7);
107 HY7=sum(HY7)';
108
109 HX7=sum((Pcondyyy7.*0.5.*log2(1./Pcondyyy7))');
110 HX7=reshape(HX7,2,length(EbtoN0));
111 HX7=sum(HX7)';
112 HXY7=-(HY7-HX7-repmat(HX,length(EbtoN0),1));
113
114 % calculate the lower bound
115 % find the errorrate by approximate the fano inequality
116 %  $H(X|Y) \leq H(Pe) + Pe \cdot \log_2(1/Pe)$ 
117 %  $H(Pe) = -Pe \cdot \log_2(Pe) - (1-Pe) \cdot \log_2(1-Pe)$ 
118 for i=1:length(EbtoN0)
119     Pe31b(i)=0.2;
120     HP=1;
121     while HP>0.00000001 %%% Pe31b(i)>=0.0001
122         HP=-Pe31b(i)*log2(Pe31b(i)-(1-Pe31b(i))*log2(1-Pe31b(i))-HXY3(i));
123         if HP>0.001
124             Pe31b(i)=Pe31b(i)-0.000001;
125         elseif HP<0.001 && HP>0.00001
126             Pe31b(i)=Pe31b(i)-0.000001;
127         else
128             Pe31b(i)=Pe31b(i)-0.0000001;
129         end
130     end
131     if HP<0.000001
132         Pe31b(i)=Pe31b(i)+0.0000001;
133     else
134         Pe31b(i)=Pe31b(i)+0.0000001;
135     end;
136
137     Pe51b(i)=0.2;
138     HP=1;
139     while HP>0.00000001 %%% Pe51b(i)>=0.0001
140         HP=-Pe51b(i)*log2(Pe51b(i)-(1-Pe51b(i))*log2(1-Pe51b(i))-HXY5(i));
141         if HP>0.001
142             Pe51b(i)=Pe51b(i)-0.000001;
143         elseif HP<0.001 && HP>0.00001
144             Pe51b(i)=Pe51b(i)-0.0000001;
145         else
146             Pe51b(i)=Pe51b(i)-0.0000001;
147         end
148     end
149     if HP<0.000001
150         Pe51b(i)=Pe51b(i)+0.0000001;
151     else
152         Pe51b(i)=Pe51b(i)+0.0000001;
153     end
154 end

```

```

155
156     Pe71b(i)=0.2;
157     HP=1;
158     while HP>0.00000001 %%% Pe71b(i)>=0.0001
159         HP=-Pe71b(i)*log2(Pe71b(i))-(1-Pe71b(i))*log2(1-Pe71b(i))-HXY7(i);
160         if HP>0.001
161             Pe71b(i)=Pe71b(i)-0.00001;
162         elseif HP<0.001 && HP>0.00001
163             Pe71b(i)=Pe71b(i)-0.000001;
164         else
165             Pe71b(i)=Pe71b(i)-0.0000001;
166         end
167     end
168     if HP<0.00001
169         Pe71b(i)=Pe71b(i)+0.0000001;
170     else
171         Pe71b(i)=Pe71b(i)+0.000001;
172     end
173 end
174 % calculate the upper bound
175 % H(X|Y) >= 2*ld(2)*Pe
176 for i=1:length(EbtoN0)
177     Pe3ub(i)=HXY3(i)/(2*log2(2));
178     Pe5ub(i)=HXY5(i)/(2*log2(2));
179     Pe7ub(i)=HXY7(i)/(2*log2(2));
180
181 end

```

Abbildungsverzeichnis

1	Kommunikationssystem nach Shannon	3
2	Transinformation	4
3	Kanalcodierung	5
4	bedingte PDF	8
5	Repetitioncode(Beweis)	10
6	Repetitioncode	10
7	Repetitioncode ohne CR	11
8	Repetitioncode weich	12
9	Repetitioncode 2bit	13
10	Repetitioncode 3bit	13
11	Grenzen mit 3 Schwellwerten	16
12	Grenzen mit 5 Schwellwerten	16

Literatur

- [1] Shannon, Claude E., A Mathematical Theory of Communication, Bell System Technical Journal, vol. 27, pp. 379-423, 623-656, 1948
- [2] Göbel, Jürgen, Informationstheorie und Codierungsverfahren, VDE Verlag Gmbh, Berlin und Offenbach, 2007
- [3] Glavieux, Alain, Channel Coding in Communication Networks: From Theory to Turbocodes, Iste Publishing Company, ISBN: 978-1-905209-24-8, 2007
- [4] Werner, Martin, Information und Codierung : Grundlagen und Anwendungen, 2., vollst. überarb. und erw. Aufl., Wiesbaden : Vieweg + Teubner, ISBN: 978-3-8348-0232-3, 2008
- [5] Görne, Thomas, Tontechnik. 1. Aufl., Carl Hanser Verlag, Leipzig, 2006, ISBN 3-446-40198-9
- [6] Henle, Hubert Das Tonstudio Handbuch. 5.Auflage, GC Carstensen Verlag, München, 2001, ISBN 3-910098-19-3
- [7] Papula, Lothar, Mathematik für Ingenieure und Naturwissenschaftler Band 3, Vieweg+Teubner Verlag, Springer Fachmedien Wiesbaden GmbH, 2011
- [8] Veeravalli, V.V., 2007, <http://www.ifp.illinois.edu/vvv/e-ce559/handouts/notes5.pdf> am 20.04.2012
- [9] Cover, Thomas M., Thomas, Joy A., Elements of Information Theory, Second edition, John Wiley and sons, Inc., Hoboken, New Jersey, 2006
- [10] Chu, J.T., Chueh, J.C., Inequalities between information measures and error probability, Journal of the Franklin Institute, 1966
- [11] Sankar, Krishna, Bit Error Rate (BER) for BPSK modulation, 2007